

## Аналіз концентраціонних зависимостей в трёхкомпонентних вакуумних конденсатах

В.М. Андронов<sup>1</sup>, И П Гребенник<sup>1</sup>, С.В. Дукаров<sup>2</sup>

<sup>1</sup>Харківський державний університет.

Україна, 310077, г. Харків, пл. Свободи 4

<sup>2</sup>Науковий фізико-технологічний центр, г. Харків

Выполнен анализ концентрационных зависимостей составов трёхкомпонентных вакуумных конденсатов по производным  $dz/dt$ , где  $z$ ,  $t$  – ортогональные координаты точек в концентрационном треугольнике, связанные с концентрациями  $c_i$  соотношениями  $z = c_2 \sin 60^\circ$ ,  $t = 1 - c_1 - c_2 \cos 60^\circ$ . Предложены способы получения трёхкомпонентных сплавов, соответствующих квазибинарным сечениям тройной диаграммы состояния.

Виконано аналіз концентраційних залежностей складів трикомпонентних вакуумних конденсатів згідно похідних  $dz/dt$ , де  $z$ ,  $t$  – ортогональні координати точок у концентраційному трикутнику, зв'язані з концентраціями  $c_i$ , співвідношеннями  $z = c_2 \sin 60^\circ$ ,  $t = 1 - c_1 - c_2 \cos 60^\circ$ . Запропоновано способи одержання трикомпонентних сплавів, що відповідають квазібінарним перетинам потрійної діаграми стану.

PACS: 68.55.-a, 81.15

### Введение

Известно, что концентрации трёхкомпонентных сплавов описываются точками внутри равностороннего треугольника, для которых  $c_i$  – косоугольные координаты соответствующей точки. Применение косоугольных координат затрудняет использование их для описания концентрационных зависимостей. Исключение составляют прямые, параллельные сторонам треугольника, для которых достаточно указать величины  $c_i = \text{const}$ . Для других квазибинарных сечений, использование косоугольных координат не позволяет проводить их описание. В то же время от этого недостатка можно освободиться, если перейти от косоугольных координат  $c_i$  к ортогональным  $z$ ,  $t$  (рис.1) с помощью соотношений [1]

$$z = c_2 \sin 60^\circ, \quad t = 1 - c_1 - c_2 \cos 60^\circ \quad (1)$$

Здесь декартова система координат  $z$  –  $t$  размещена так, что начало координат совпадает с одной из вершин концентрационного треугольника (например, 1), а ось абсцисс – с одной из сторон (например 1-3).

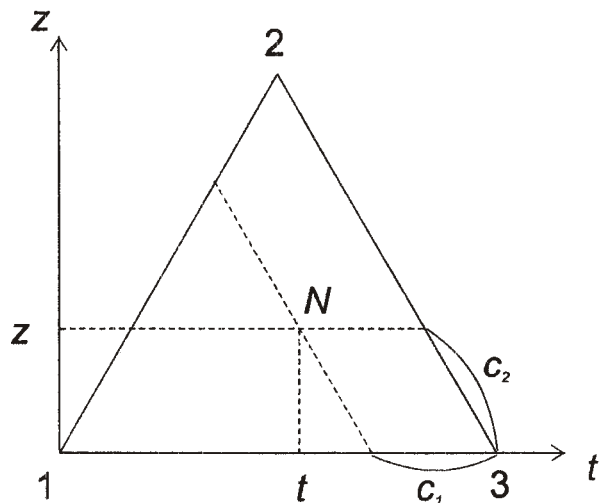


Рис. 1 Связь в концентрационном треугольнике 1-2-3 между концентрациями  $c_i$  в точке  $N$  (косоугольная система координат) и ортогональными координатами  $z$ ,  $t$ .

В этом случае ход зависимости  $z = f(t)$  можно анализировать, определяя производную  $dz/dt$  в разных

точках ( $z, t$ ). Такий підхід наїбліже целеособоран в при отриманні трьохкомпонентних вакуумних конденсатів змінного складу, розподілення концентрації в яких, як і в дводомних сплавах [2], визначаються законами розподілення на підложці товщини испарюємих компонентів. Як і для двохкомпонентних сплавів, товщини конденсатів в будь-якій точці підложки залежать від геометрії испарення, мас испарюємих речовин та типу використовуваних испарителів [3,4]. На основі знання геометрії розташування  $k$  испарителів по відношенню до підложки, мас испарюємих матеріалів  $m_{ik}$  ( $i = 1, 2, 3$  для трьохкомпонентних сплавів) можна розрахувати концентрації  $c_i$ , а по ним – величини  $z, t$  з виражень (1).

### Розподілення концентрації трьохкомпонентних сплавів на площині підложки

В цьому випадку в точці  $P$ , віддалі від проекцій испарителів на площину підложки (рис 2), концентрації  $c_i$  можуть бути розраховані з формул:

$$c_i = \frac{\sum_k \rho_i l_{ik}}{\sum_i \sum_k \rho_i l_{ik}} \quad (2)$$

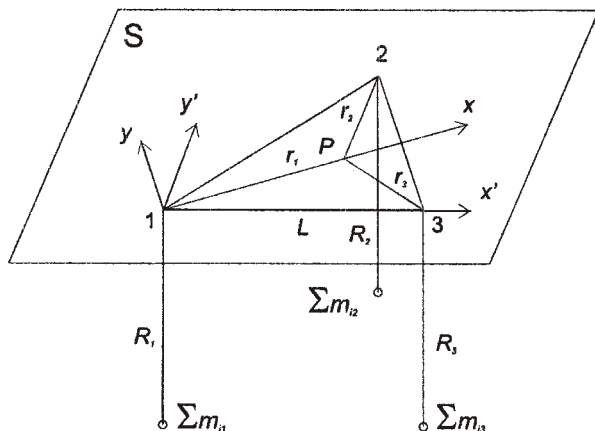


Рис. 2. Схема розміщення осей координат ( $x, y$ ) та ( $x', y'$ ) на площині підложки  $S$  відносно проекцій испарителів  $k_i$  в вершинах рівностороннього трикутника 1-2-3.  $OE$  – медіана,  $R_i$  – відстань від проекцій испарителів до точки  $P$

Здесь  $l_{ik} = \frac{1}{\rho_i} m_{ik} F_k(r)$  – товщина плінки компонента  $i$ , испаренного з испарителя  $k$  і сконденсованого в точці  $P$ ,  $m_{ik}$ ,  $\rho_i$  – маси та густоти компонентів,  $F_k(r_k)$  – функція розподілення, конкретний вигляд якої залежить від типу испарителя та геометрії напилення. По розрахованним  $c_i$  можна побудувати

графики залежності  $z = f(t)$  і проаналізувати положення цієї кривої в концентраційному трикутнику 1-2-3.

Одним із способів аналізу залежності  $z = f(t)$  є знаходження похідної  $dz/dt$  та її змінення від точки до точки. Особливий інтерес представляє визначення умов, при яких похідна  $dz/dt$  є постійною. В цьому випадку пряма  $z = Kt + M$  описує одно з квазібінарних сечень трикутної діаграмми.

Учитуючи складний характер залежності  $z = f(t)$  в загальному випадку, для отримання похідної  $dz/dt$  в різних точках підложки  $P(r_1, r_2, r_3)$  целеособорано перейти до нових змінних  $\alpha, \beta, \gamma$ :

$$\begin{aligned} \alpha &= \sum_k m_{1k} F_k(r_k), \quad \beta = \sum_k m_{2k} F_k(r_k), \\ \gamma &= \sum_k m_{3k} F_k(r_k). \end{aligned} \quad (3)$$

В цих змінних  $c_i, z, t$  набувають вигляду:

$$c_i = \frac{\alpha}{\alpha + \beta + \gamma}, \quad c_2 = \frac{\beta}{\alpha + \beta + \gamma}, \quad (4)$$

$$z = \frac{\sqrt{3}}{2} \frac{\beta}{\alpha + \beta + \gamma}, \quad t = \frac{1}{2} \frac{\beta + 2\gamma}{\alpha + \beta + \gamma} \quad (5)$$

Определив похідні по  $r_k$  змінних  $z, t$ ,

$$\begin{aligned} \frac{dz}{dr_k} &= \frac{\partial z}{\partial \alpha} \frac{d\alpha}{dr_k} + \frac{\partial z}{\partial \beta} \frac{d\beta}{dr_k} + \frac{\partial z}{\partial \gamma} \frac{d\gamma}{dr_k}, \\ \frac{dt}{dr_k} &= \frac{\partial t}{\partial \alpha} \frac{d\alpha}{dr_k} + \frac{\partial t}{\partial \beta} \frac{d\beta}{dr_k} + \frac{\partial t}{\partial \gamma} \frac{d\gamma}{dr_k}, \end{aligned} \quad (6)$$

можна згодом знайти похідну  $dz/dt$  в будь-якій точці підложки  $P(r_1, r_2, r_3)$ .

Основувавшись на (3) отримаємо

$$\frac{\partial z}{\partial \alpha} = \frac{\partial z}{\partial \gamma} = -\frac{\sqrt{3}}{2} \frac{\beta}{(\alpha + \beta + \gamma)^2},$$

$$\frac{\partial z}{\partial \beta} = \frac{\sqrt{3}}{2} \frac{\alpha + \gamma}{(\alpha + \beta + \gamma)^2}, \quad \frac{\partial t}{\partial \alpha} = -\frac{\beta + 2\gamma}{2(\alpha + \beta + \gamma)^2}, \quad (7)$$

$$\frac{\partial t}{\partial \beta} = \frac{\alpha - \gamma}{2(\alpha + \beta + \gamma)^2}, \quad \frac{\partial t}{\partial \gamma} = \frac{2\alpha + \beta}{2(\alpha + \beta + \gamma)^2}$$

Для знаходження  $\frac{d\alpha}{dr_k}, \frac{d\beta}{dr_k}, \frac{d\gamma}{dr_k}$  необхідно конкретизувати вигляд функції  $F_k(r_k)$ .

Пусть для испарення компонентів використовуються плоскі направлені испарителі малої площини. В цьому випадку  $F_k(r_k) = \frac{R_k^2}{\pi(R_k^2 + r_k^2)^2}$  і тоді

$$\begin{aligned} A &= \frac{d\alpha}{dr_k} = -\frac{4}{\pi} \sum_k \frac{m_{ik} r_k R_k^2}{(R_k^2 + r_k^2)^3}, \\ B &= \frac{d\beta}{dr_k} = -\frac{4}{\pi} \sum_k \frac{m_{2k} r_k R_k^2}{(R_k^2 + r_k^2)^3}, \\ C &= \frac{d\gamma}{dr_k} = -\frac{4}{\pi} \sum_k \frac{m_{3k} r_k R_k^2}{(R_k^2 + r_k^2)^3}. \end{aligned} \quad (8)$$

Подставляя выражения для производных (7) и (8) в (6) получим

$$\begin{aligned} \frac{dz}{dr_k} &= \frac{\sqrt{3}}{2} \frac{\beta A - (\alpha + \gamma)B + \beta C}{(\alpha + \beta + \gamma)^2}, \\ \frac{dt}{dr_k} &= \frac{1}{2} \frac{(\beta + 2\gamma)A - (\alpha - \gamma)B + (2\alpha - \beta)C}{(\alpha + \beta + \gamma)^2} \end{aligned} \quad (9)$$

Следовательно, выражение для  $dz/dt$  приобретает вид

$$\frac{dz}{dt} = \sqrt{3} \frac{\beta A - (\alpha + \gamma)B + \beta C}{(\beta + 2\gamma)A - (\alpha - \gamma)B - (2\alpha + \beta)C} \quad (10)$$

Полученное выражение (10) может быть использовано при анализе распределения концентрации трёхкомпонентных конденсатов на плоской подложке для некоторых частных случаев (при различной геометрии расположения испарителей, их количества, размещения компонентов  $i = 1, 2, 3$  на испарителях и их масс  $m_{ik}$ ).

1. Испарение чистых компонентов ( $m_{ik} = 0$ , при  $i \neq k$ ), размещенных в одной плоскости ( $R_1 = R_2 = R_3 = R$ ), параллельной плоскости подложки. Испарители размещены в вершинах равностороннего треугольника со стороной  $L$  (рис.2). В этом случае выражения (3) имеют следующий вид

$$\begin{aligned} \alpha &= \frac{m_{11} R^2}{\pi (R^2 + r_1^2)^2}, \quad \beta = \frac{m_{22} R^2}{\pi (R^2 + r_2^2)^2}, \\ \gamma &= \frac{m_{33} R^2}{\pi (R^2 + r_3^2)^2} \end{aligned} \quad (11)$$

С учётом этих выражений производные  $dz/dt$  в любой точке  $P(r_1, r_2, r_3)$  подложки  $S$  (рис.2) могут быть записаны следующим образом

$$\frac{dz}{dt} = \frac{\sqrt{3} [m_{11} m_{22} Q_3(r_k) - m_{22} m_{33} Q_1(r_k)]}{m_{11} m_{22} Q_3(r_k) + 2m_{11} m_{33} Q_2(r_k) + m_{22} m_{33} Q_1(r_k)} \quad (12)$$

Здесь  $Q_1 = (R^2 + r_1^2)^3 (r_2 - r_3)$ ,  $Q_2 = (R^2 + r_2^2)^3 (r_1 - r_3)$ ,  $Q_3 = (R^2 + r_3^2)^3 (r_1 - r_2)$ .

Выражение (12) имеет достаточно сложный вид, однако в плоскости  $S$  можно выбрать три направления (вдоль медиан равностороннего треугольника 1-2-3),

где  $dz/dt = \text{const}$ . Вдоль этих направлений  $z = Kt + M$  (квазибинарное сечение). Для точек вдоль медианы, выходящей, например, из вершины 1,  $r_1 \neq r_2 = r_3$ ,  $Q_2(r_k) = Q_3(r_k)$ ,  $Q_1(r_k) = 0$  и

$$\frac{dz}{dt} = \sqrt{3} \frac{m_{22}}{m_{22} + 2m_{33}}, \quad (13)$$

т.е. наклон прямой  $z = Kt + M$  зависит лишь от соотношения между массами компонентов, расположенных на равноудалённых от медианы испарителях. Если ввести в плоскости подложки оси  $x$ ,  $y$  (рис.2), то точки вдоль медианы ОЕ описываются формулами  $r_1 = \sqrt{x^2 + y^2}$ ,  $r_2 = \sqrt{(L-x)^2 + y^2}$ ,  $r_3 = \sqrt{(L/2 \pm x)^2 + 3/4 L^2}$ . Для системы координат  $(x', y')$ , в которой ось  $x'$  совмещена с медианой выполняются соотношения  $r_1 = x$ ,  $r_2 = r_3 = \sqrt{(L-x)^2 + L^2/4}$

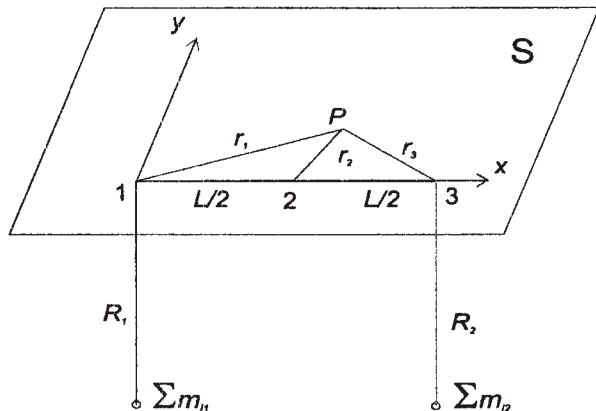


Рис. 3. Схема размещения осей координат  $(x, y)$ , на подложке  $S$  относительно проекций испарителей 1, 2, 3, расположенных на прямой вдоль оси  $x$ ,  $r_i$  – расстояния от проекций испарителей до точки  $P$

2. Испарение чистых компонентов из трёх испарителей, расположенных в одной плоскости ( $R_1 = R_2 = R_3 = R$ ) на одной прямой, на расстояниях  $L/2$  друг от друга. В этом случае распределение концентрации на подложке вдоль оси  $x$  (рис.3), т.е. при  $r_1 = x$ ,  $r_2 = L/2 \pm x$ ,  $r_3 = L - r_1 = L - x$ , описывается, как и в предыдущем общем случае, сложной зависимостью  $z = f(t)$ , а производные  $dz/dt$  – выражением (12). Однако и в этом случае на подложке можно указать направление (параллельное оси  $y$ ), для точек на котором можно записать  $r_1 \neq r_2 = r_3$ . Следовательно, в этом направлении трёхкомпонентные сплавы имеют составы, отвечающие квазибинарному сечению тройной диаграммы с  $dz/dt = \text{const}$  (в соответствии с (13)).

### 3. Іспарення компонентів із двох испарителей.

Здесь можна розглядати общий случай: а) испаренія трох компонентів із двох испарителей (состави сплавів в испарителях різноманітні, т.е.  $m_{11} \neq m_{12}$ ) і частні, що виникають при відсутності в испарителях некількох компонентів сплавів: б) испаренія двох компонентів із двох испарителей (наприклад, коли  $m_{31} = m_{12} = 0$ ); в) испаренія чистого компонента (1) і двухкомпонентного сплава (2,3), т.е.  $m_{21} = m_{31} = m_{12} = 0$ .

а) В будь-якій точці  $P$  площини  $S$  (рис.4) при використанні плоских напрямлених испарителей малої площини для  $\alpha$ ,  $\beta$  і  $\gamma$  ( $R_1 = R_2 = R$ ) можна записати

$$\alpha = \frac{m_{11}R^2}{\pi(R^2 + r_1^2)} + \frac{m_{21}R^2}{\pi(R^2 + r_2^2)},$$

$$\beta = \frac{m_{21}R^2}{\pi(R^2 + r_1^2)} + \frac{m_{22}R^2}{\pi(R^2 + r_2^2)},$$

$$\gamma = \frac{m_{31}R^2}{\pi(R^2 + r_1^2)} + \frac{m_{32}R^2}{\pi(R^2 + r_2^2)}$$

Тогда, найдя значення производных  $\frac{\partial z}{\partial(\alpha, \beta, \gamma)}$ ,

$$\frac{\partial t}{\partial(\alpha, \beta, \gamma)}, \frac{d(\alpha, \beta, \gamma)}{dr_k}, \text{ получим}$$

$$\frac{dz}{dt} = \frac{\sqrt{3}[m_{22}(m_{11} + m_{31}) - m_{21}(m_{12} + m_{32})]}{m_{11}m_{22} - m_{31}(m_{22} + 2m_{21}) + m_{32}(m_{21} + 2m_{11})} \quad (14)$$

Таким образом, при такому способі отримання троїстих сплавів всі сплави на підложці  $S$  належать при певних  $m_{ik}$  одному і тому ж квазибінарному сеченню, наклон якого визначається формулою (14).

Случай (б) приводить до отримання квазибінарних сечень з наклоном

$$\frac{dz}{dt} = \sqrt{3} \frac{m_{22}m_{11} - m_{21}m_{32}}{m_{11}m_{22} + m_{32}m_{21} + 2m_{11}m_{32}}, \quad (15)$$

$$(m_{12} = m_{31} = 0),$$

а в случаї (в), коли з одного джерела испаряється чистий компонент (наприклад,  $m_{11}$ ,  $m_{21} = m_{31}$ ), для  $dz/dt$  отримується вираз

$$\frac{dz}{dt} = \sqrt{3} \frac{m_{22}}{m_{22} + 2m_{32}} \quad (16)$$

При отриманні трохкомпонентних сплавів, що представляють квазибінарні сечення, помимо наклона прямих, необхідно ще задавати в уравненії прямої  $z = Kt + M$  ще і величину відрізка  $M$ , відсіканого прямою з наклоном  $K = dz/dt$  на осі  $z$ .

Если записать уравнение прямой, проходящей

через две точки  $z'$ ,  $t'$  і  $z''$ ,  $t''$ , можно получить выражение для  $M$  в виде:

$$M = \sqrt{3} \frac{c'_2(1 - c''_1) - c''_2(1 - c'_1)}{2(c'_1 - c''_1) + c'_2 - c''_2} \quad (17)$$

Подставляя в (17) выражения (4) получим соответствующие соотношения для  $M$ .

Так в случае (а) – испарения из двух источников.

$$M = \frac{\sqrt{3}(m_{21}m_{32} - m_{22}m_{31})}{m_{11}m_{22} - m_{31}(m_{22} + 2m_{21}) + m_{32}(m_{21} + 2m_{11})}. \quad (18)$$

Для случая (в) прямая проходит через одну из вершин треугольника 1-2-3. Сечения, параллельные стороне 1-2 концентрационного треугольника, отвечающие одинаковой концентрации компонента 3 в обоих испарителях, т.е.  $\frac{m_{31}}{m_{31} + m_{21} + m_{11}} = \frac{m_{32}}{m_{32} + m_{22} + m_{12}} = c_3$ , характеризуется значениями  $K = \sqrt{3}$ ,  $M = -\sqrt{3}c_3$ ,  $\varphi = \arctan K = 60^\circ$

Таким образом, описание концентрационных зависимостей трохкомпонентных вакуумных конденсаторів на плоскій підложці з помічою ортогональних координат  $z$ ,  $t$  позволяет выявить условия отримання квазибінарних сечень і дослідити зв'язок між складом таких сплавів на площині, як і в випадку двохкомпонентних сплавів.

1. В.М. Андронов, И.П. Гребенник, С.В. Дукаров, *Труды украинского вакуумного общества*, 2, 55 (1996).
2. С.А. Векшинский, *Новый способ металлографического исследования сплавов*, ОГИЗ-Гостехиздат, Москва-Лeningrad (1944).
3. В.В. Слуцкая, *Тонкие пленки в технике сверхвысоких частот*, Гостехиздат, Москва (1962).
4. *Технология тонких пленок*, Справочник, т. 1, Советское радио, Москва (1979).

### The analysis of concentration dependencies in three-component vacuum condensates

V.M. Andronov, I.P. Grebenik, S.V. Dukarov

The analysis of concentration dependencies of compositions of three-component vacuum condensates was carried out starting from the derivatives  $dz/dt$ , where  $z$ ,  $t$  - orthogonal coordinates of points in side a concentration triangle that are related with concentrations  $c_i$  according to formulas  $z = c_2 \sin 60^\circ$ ,  $t = 1 - c_1 - c_2 \cos 60^\circ$ . The method were proposed of obtaining three-component alloys corresponding to the ternary diagram of state.